

太陽風に於けるアルペン波の 非線型ランダウ減衰

広大理論研 田島延樹
高松 順
屋内 利得

§1 序論

磁気流体波が、種々な天体现象において、エネルギー源として重要な役割を演じている事が指摘されている。磁気流体波のうち、特にアルペン波は通常の線型(ランダウ)減衰のおこり難い波として知られているが、それ故に、エネルギーとその源から遠く離れた場所へ運ぶ可能性をもつものとして注目される。アルペン波のこの側面に着目するならば、当然エネルギーを運んで行った先でのエネルギー散逸(あるいは他のへの転移)の機構を論じなければならぬ。我々はこのメカニズムとして、非線型ランダウ減衰を論ずる。これは波のプラスマ粒子による非線型散乱で、Lifshitz, M.A. & Tsytorich, V.N. (1970) によって波のエネルギースペクトルの時間変動を記述する方程式が導かれていく。Hollweg, J.V. (1971) 及び

Lee, M.A. & Völk, H.J. (1973), 及 Lacombe, C. (1976) らは
 この機構による、太陽風内プラズマ粒子の加熱の説明を試み
 ているが、彼等はいづれも波の減衰率を求めていふのみで、
 Belcher, J.W. & Davis, L. (1971) の広範囲における観測事実の
 すべてを説明する事はできぬ。そこで我々は、アルベニン波の
 非線型減衰が、實際、有効である事を示すため、Lifshitz &
 Tsy托ovich によって導かれた方程式を解き、太陽風内アルベニン波に適用した結果と、Belcher & Davis の観測事実
 と比較し、良く一致する事を見出した。

2 エネルギースペクトルの時間変動

Lifshitz & Tsy托ovich によると波のエネルギースペクトル $\overline{W}_{\omega\mu}^A$ は次の方程式に従う、

$$\frac{\partial \overline{W}_{\omega\mu}^A}{\partial t} = C \overline{W}_{\omega\mu}^A \left[\int_{-1}^1 d\mu_1 \left\{ \omega^3 \frac{\partial \overline{W}_{\omega\mu_1}^A}{\partial \omega} + \omega^2 \overline{W}_{\omega\mu_1}^A \right\} \cdot 2 \left(1 - \frac{\mu}{|\mu_1|} \frac{\mu_1}{|\mu_1|} \right) \right]$$

$$+ \int_{-1}^1 d\mu_1 \left\{ \omega^3 \frac{\partial \overline{W}_{\omega\mu_1}^M}{\partial \omega} \left(\frac{\mu}{|\mu_1|} - \mu_1 \right)^2 + 2\omega^2 \overline{W}_{\omega\mu_1}^M \left(1 - \mu_1 \frac{\mu}{|\mu_1|} \right) \right\} \right] \quad (1)$$

$$\begin{aligned} \frac{\partial \overline{W}_{\omega\mu}^M}{\partial t} &= C \overline{W}_{\omega\mu}^M \left[\int_{-1}^1 d\mu_1 \left\{ \omega^3 \frac{\partial \overline{W}_{\omega\mu_1}^A}{\partial \omega} \left(\mu - \frac{\mu_1}{|\mu_1|} \right)^2 + 2\omega^2 \overline{W}_{\omega\mu_1}^A \right. \right. \\ &\quad \left. \left. \left(\mu^2 - \mu \frac{\mu_1}{|\mu_1|} \right) \right\} + \int_{-1}^1 d\mu_1 \left\{ \omega^3 \frac{\partial \overline{W}_{\omega\mu_1}^M}{\partial \omega} (\mu - \mu_1)^2 + 2\omega^2 \overline{W}_{\omega\mu_1}^M (\mu^2 - \mu \mu_1) \right\} \right] \end{aligned} \quad (2)$$

ここで A, M はそれぞれアルベン波、ラースト波を表す。

$$C \equiv \pi^2 / m_i m_e v_a^2 (1 + T_e / T_i)^2, \quad \mu \equiv |\mathbf{K} \cdot \mathbf{B}| / (|\mathbf{K}| |\mathbf{B}|) \text{である。}$$

$\bar{W}_{\omega\mu}^{\alpha}$ ($\alpha = A, M$) は $\omega - \mathbf{k} \cdot \mathbf{v}$ の 搾動磁場のエネルギーと 2 次の様に 関係づけられる

$$\delta B^2 / 8\pi = 2\pi \int_{-1}^1 d\mu \int_{\omega_{\min}}^{\omega_{\max}} \bar{W}_{\omega\mu}^{\alpha} d\omega \quad (3)$$

(1), (2) 式を得る際に $v_a \gg v_s$ (音波速度) を仮定したが、この条件下では ラースト波は $|\mu| = 1$ の方向を除いて 線型ランダウ減衰を強く受け、そこで ラースト波のエネルギースペクトルを

$$\bar{W}_{\omega\mu}^M \equiv \pi^{-1} [\bar{W}_{\omega}^{M+} \delta(\mu-1) + \bar{W}_{\omega}^{M-} \delta(\mu+1)] \quad (4)$$

と仮定する。アルベン波は 同じく

$$\bar{W}_{\omega}^{A+} \equiv 2\pi \int_0^1 \bar{W}_{\omega\mu}^A d\mu; \quad \bar{W}_{\omega}^{A-} \equiv 2\pi \int_{-1}^0 \bar{W}_{\omega\mu}^A d\mu \quad (5)$$

を用いると (1), (2) 式を 次の様に書きかえる事ができる

$$\frac{\partial \bar{W}_{\omega}^{\alpha\pm}}{\partial t} = \frac{2C}{\pi} \bar{W}_{\omega}^{\alpha\pm} \omega^2 \frac{\partial}{\partial \omega} [\omega (\bar{W}_{\omega}^{A\mp} + \bar{W}_{\omega}^{M\mp})] \quad (6)$$

さらに $V \equiv V^+ + V^-$, $\bar{V} \equiv \bar{V}^+ \bar{V}^-$, $V^\pm \equiv \sum_{\alpha} \omega \bar{W}_{\omega}^{\alpha\pm}$ とおき $\xi \equiv (\pi/2C) \omega^{-1}$ を使うと (6) 式は

$$\frac{\partial V}{\partial t} + \frac{\partial V}{\partial \xi} = 0, \quad \frac{\partial V}{\partial t} + V \frac{\partial V}{\partial \xi} = 0 \quad (7)$$

となる。この方程式の厳密解の一つの集合は、

$$F(V, \xi - (V - V_\infty)t/2) = 0 \quad (8)$$

$$V = (V - V_\infty)^2/4 \quad (9)$$

と表わされる。ただし、 V_∞ はある定数、 $F(u, v)$ は、
変数 u, v の任意関数である。

この解で記述されるエネルギースペクトルの時間変動
を議論するためには、 $t=0$ の初期値として、振動
数 ω の幕関数をとると、(8)式から

$$t=0 : V \equiv V_0 = V_* (\xi/\xi_0)^{\alpha_0-1}$$

$$t=t : V = V_* [\xi/\xi_0 - (V - V_\infty)t/2\xi_0]^{\alpha_0-1} \quad (10)$$

V_* , $\alpha_0 > 1$ は定数、とする。(10)式以下 時間が $t=0$ と
エネルギースペクトルが幕からされる事わかる。その
初期及び時間が充分 $t \rightarrow T$ 後の漸近形は

$$t \rightarrow 0 : V(\xi, t) \approx V_0 [1 - (\alpha_0-1)(V_\infty t/2\xi) \{V_0/V_\infty - 1\}] \quad (11)$$

$$t \rightarrow \infty : V(\xi, t) \approx V_\infty [1 + (2\xi/V_\infty t) \{1 - (V_\infty/V_0)^{1/(\alpha_0-1)}\}] \quad (12)$$

である。

これらの式は、エネルギーースペクトルが初期にいかで下る幕指數 α_0 を持っていても、最終的には同じ指數・1 ($W_0 \propto \omega^{-1}$) (= T_0) である事を示している。又、 $T(t \rightarrow \infty) = T_0$ 及び (9) 式から T^+ が T^- のいつれか、初期値の小さい方、か $\propto 0$ は 2 まで 非線型散乱が続く事がわかる。有限時間での T は肉し、次の様に幕指數を定義できる。

(13)

$$\alpha(\xi, t) - 1 \equiv \frac{\partial \ln T}{\partial \ln \xi} = (\alpha_0 - 1) / [1 + \epsilon \{(\alpha_0 - 2)\epsilon + 1\}]$$

ここで、 $\epsilon \equiv T_0 t / 2\xi$, $\epsilon \equiv T/T_0$ 。これを使って、 ϵ 及び α を ϵ と $\epsilon_0 = \epsilon(t=0)$ で表わすと次の様である。

(14)

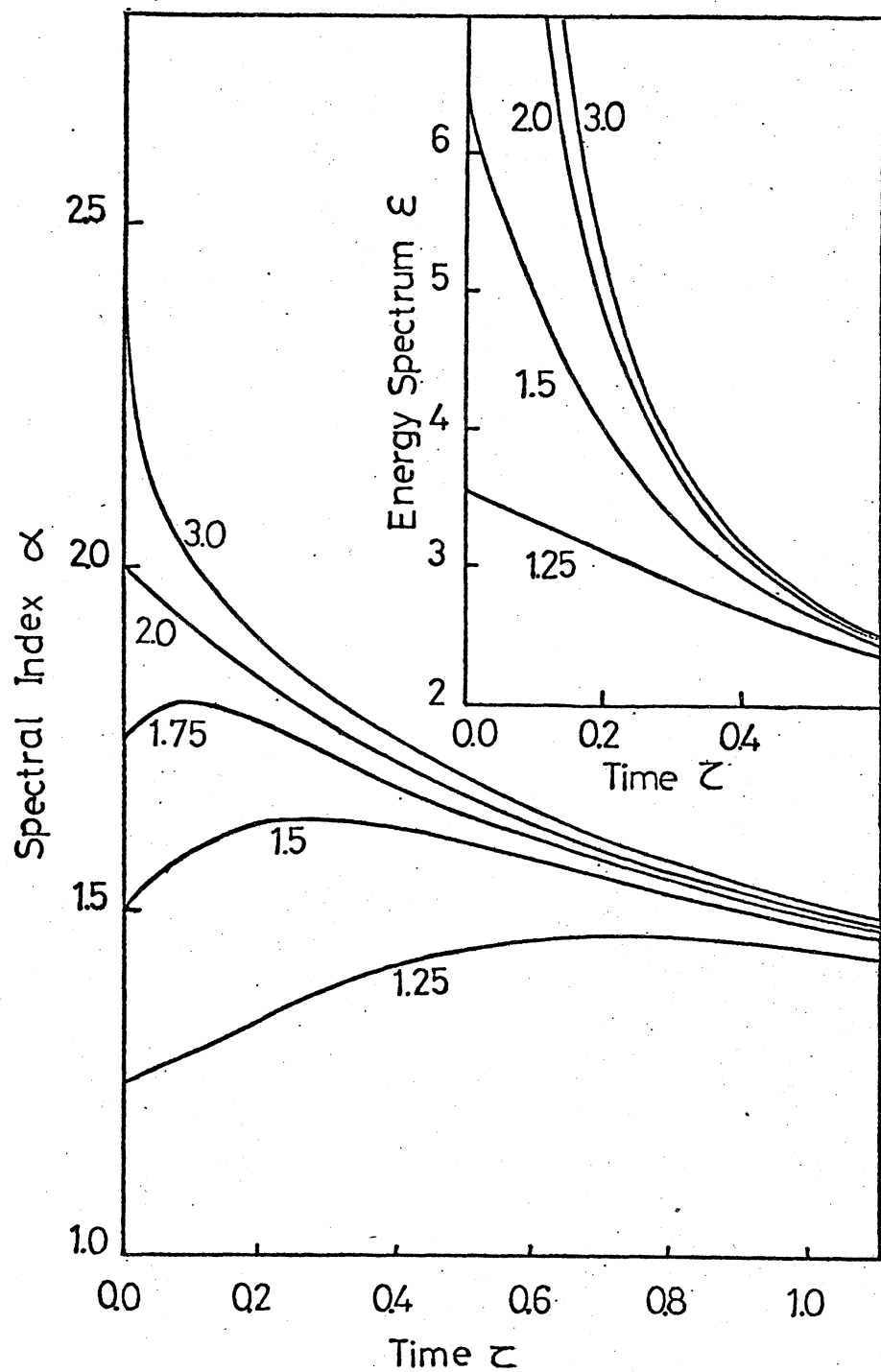
$$\epsilon = \{1 - (\epsilon/\epsilon_0)^{1/(\alpha_0-1)}\} / (\epsilon - 1)$$

(15)

$$\alpha - 1 = (\alpha_0 - 1)(\epsilon - 1) / [(\alpha_0 - 1)\epsilon - (\epsilon/\epsilon_0)^{1/(\alpha_0-1)} \{(\alpha_0 - 2)\epsilon + 1\}]$$

幕指數 α 及びエネルギーースペクトル ϵ の種々な初期値に対する時間変動を調べる。図 1 ではこの初期値を $\epsilon_0 = \epsilon_* (\xi/\xi_0)^{\alpha_0-1}$ として $\epsilon_* = 2$, $\xi = 10\xi_0$ の場合が描かれている。 ϵ は ϵ の単調減少関数であるのに対し、 α は興味深い特徴を示している。すなはち、 α は 1 ほり ≤ 1 の間に $1 < \alpha < 2$ の領域に集中する傾向がある。この特徴的ふるまいは

Fig. 1



$\varepsilon_0 \gg 1$ の場合に付、次にあわてようの定性的の求め方をかげよ。

(1) $\alpha_0 > 2$

α はでか増すにつれ、単調に減少する。その持続的尺度 τ は $(\alpha_0 - 2)$ $\varepsilon_0 \gg 1$ の場合

(i) $\alpha > 2$ のとき

$$\tau \lesssim \varepsilon_0^{-1} \left[(\alpha-1)(\alpha_0-2)/(\alpha_0-1)(\alpha-2) \right]^{(\alpha_0-1)} \quad (16)$$

(ii) $\alpha = 2$ のとき

$$\tau_1 \approx \varepsilon_0^{-1/\alpha_0} \left[(\alpha_0-2)/(\alpha_0-1) \right]^{(\alpha_0-1)/\alpha_0} \quad (17)$$

(iii) $\alpha < 2$ のとき

$$\tau \gtrsim (2-\alpha)/(\alpha-1) \quad \text{このとき, } \varepsilon \lesssim 1/(2-\alpha) \quad (18)$$

(2) $\alpha_0 < 2 - \varepsilon_0^{-1}$

この場合に付、 α は初期に増大し、極大値 α_m

$$2 - \alpha_m = [\alpha_0 \varepsilon_m - 1/(2 - \alpha_0)] / \varepsilon_m (\varepsilon_m - 1) \quad (19)$$

$$\varepsilon_m / \varepsilon_0 = \left[(\alpha_0-1)^2 \varepsilon_m / \{(2-\alpha_0) \varepsilon_m^2 - (2-\alpha_0)(1+\alpha_0) \varepsilon_m + 1\} \right]^{(\alpha_0-1)} \quad (20)$$

をもつ。 $(2 - \alpha_0) \varepsilon_0 \gg 1$ のとき $\varepsilon_m \gg 1$ となり、従って α_m は 2 附近まで増大しうる。この増大の尺度 τ は

(i) $\alpha_m > \alpha > \alpha_0$:

$$\tau \lesssim \varepsilon_0^{-1} \left[(\alpha-1)(2-\alpha_0)/(\alpha_0-1)(2-\alpha) \right]^{(\alpha_0-1)} \quad (21)$$

又 (ii) $\alpha = \alpha_m$ のとき

$$\bar{\epsilon}_m \approx \epsilon_0^{-1/\alpha_0} \left[(2-\alpha_0)/(\alpha_0-1)^2 \right]^{(\alpha_0-1)/\alpha_0} \quad (22)$$

より (i), (ii) 減少に転じ、再び $\alpha \leq \alpha_0$ と $\alpha > \alpha_0$ の

$$\bar{\epsilon} \geq (2-\alpha)/(\alpha-1) \quad \text{となる} \quad \epsilon \leq 1/(2-\alpha) \quad (23)$$

以上 (1), (2) 及び (i) のタイムスケールが (ii) のそれに比べて

充分短かく、(ii)において種々の初期値 α_0 からの α の集中がかなり達成されている事がわかる。又、(iii)の領域 ($1+\gamma \geq 1$) では (ii) に比べて緩かに減少していくのが見られる。

$$(3) 2 \geq \alpha_0 \geq 2 - \epsilon_0^{-1}$$

α は単調にかつ (1), (2) に比べて緩かに減少する。

例えは $\alpha_0 = 2$ の

$$\alpha = (2+\bar{\epsilon})/(1+\bar{\epsilon}), \quad \epsilon = (1+\bar{\epsilon})\epsilon_0/(1+\bar{\epsilon}\epsilon_0)$$

上に述べた事から、 α は $1+\gamma > \alpha > (\alpha_m \text{ の最小値})$

の範囲に集中する事がわかる。 ϵ_0 が充分大ならば α_m の最小値は 2 に近い事はすでに述べて通りである。

かりに $\epsilon_0 \gtrsim 2$ 程度であっても、その値は ~ 1.5 より小さき事はない（図参照）。一方、波のエネルギー散逸は、 α が $2 > \alpha > 1.5$ に近づく間に活発に起きている。

$\epsilon_0 \lesssim 1$ の時は上述の特徴的ふるまいは起らでない。従って初期のエネルギーは最終エネルギーに比べて充分大きい事が必要な条件になっている。

§3 観測との比較

アルペニ波は主に太陽附近の空間で、種々な乱れによって偶然的に生み出されると考えられる。その初期のエネルギースペクトルの型を又種々であるが、少くとも、ある狭い振動数領域では ω の幕として表わされる。幕指数が $2 > \alpha > 1.5$ とすとタイムスケールは §2 の議論によると $t_c = T_e / \tau_{\perp} \approx 1$ である (もちろん $\tau_{\perp} \sim \delta^{1/\alpha}$ で集中度は $\delta^{-\alpha}$ にかなり高くなっているか)。これを現実のタイムスケール t_c に直すと

$$t_c = \frac{2}{\pi} (1 + T_e / \tau_{\perp})^2 \ln(\omega_{\max} / \omega_{\min}) \omega^{-1} \bar{W}_B / \bar{W}_{\infty} \approx 20 \omega^{-1} \bar{W}_B / \bar{W}_{\infty}$$

となる。この $T_e / \tau_{\perp} \approx 1$, $\omega_{\max} / \omega_{\min} \approx 3 \times 10^3$ (Lacombe 1976) を使って $t_c = B_0^2 / 8\pi$, $\bar{W}_{\infty} \equiv \int_{\omega_{\min}}^{\omega_{\max}} \bar{W}_{\infty} \omega^{-1} d\omega$ は、非擾動磁場 B_0 最終的に生き残る T_c 波のエネルギーである。Belcher & Davis による観測の解析結果は次のとおりである。

(1) 高速プラズマ流の後方に、外向き (+) 方向に伝播するアルペニ波の存在が、又前方には、外向きの他に内向き (-) 方向の波の存在も確認された。

(2) 幕指数 α は、振動数領域 $1/107 \text{ min.}$ から $1/10 \text{ min.}$ では $1.5 \sim 2.2$, $1/10 \text{ min.}$ から $1/25.2 \text{ sec.}$ では $1.6 \sim 1.7$ である T_c 。又 (1) では $\delta B^2 / 8\pi \approx B_0^2 / 8\pi$ である T_c 。

(3) プラズマの高温領域では $\alpha \sim 1.5$, 低温領域では $\alpha \sim 2.0$, と計算している様に思える。

(4) 振動磁場の非等方性は平均して

$$|\delta B_{\epsilon_B \epsilon_r}|^2 : |\delta B_{\epsilon_B \times (\epsilon_B \times \epsilon_r)}|^2 : |\delta B_{\epsilon_B}|^2 = 5:4:1$$

である ($\epsilon_B \equiv B_0/(B_0)$, $\epsilon_r \equiv r/r_c$)。

初めに我々の考へている非線型散乱は外向きの波と内向きの波との間にのみ起こりうる。(6式)。これは観測(1)と良く合っている。次に, α の集中の起こるタイムスケール t_c は観測された振動数領域(2) では

$$1.5 \bar{W}_B / \bar{W}_{\infty} \text{ days} > t_c > 8.4 \bar{W}_B / \bar{W}_{\infty} \text{ min. であり。}$$

$\bar{W}_B / \bar{W}_{\infty}$ は大きすぎる事はないから, ほぼ 波から太陽から観測まで到達するタイムスケール $\sim 3.5 \text{ days}$ に等しいか小さい。従って幕指数に関するも、観測結果を満足する。その上、低振動領域では高振動数領域より α の集中する中が大きい事も良く説明している ($\propto t_w$ に注意)。さらに, $\alpha \sim 2.0$ と $\alpha \sim 1.5$ と決定された 2つの空間領域を考えると、今まで述べて来た様に、波のエネルギー散逸は後者の方が前者よりも充分起こっていると期待できるから、後者の領域のプラスマ温度は前者に比べて高いと考えられる。この事は上記(3)の内容と一致する。

さて、我々は Lifshitz-Tsytovich 方程式から出発して、議論を展開してきなが、実は太陽風においては $v_a \gg v_s$ という近似が必ずしも、どこででも満足されているというわけにはいかず（地球軌道附近で $v_a \sim 50 \text{ km/s}$, $v_s \sim 30 \text{ km/s}$ ）。そのため、この近似の第0次から成る L-T 方程式の適用限界に問題が生じる可能性がある。我々はそれを回避するため、さらに高次の展開を含めた方程式を吟味する。 $(v_s/v_a)^2$ 次まで考慮する方程式は、（簡単のためアルペン波のみ）

$$\frac{\partial \bar{W}_\omega^\pm}{\partial t} = \frac{2C}{\pi} \bar{W}_\omega^\pm \omega^2 \left[\frac{\partial}{\partial \omega} + 2(v_s/v_a)^2 \left\{ T_i/(T_i+T_e) \frac{\partial}{\partial \omega} + \right. \right. \\ \left. \left. 3\omega \frac{\partial^2}{\partial \omega^2} + \omega^2 \frac{\partial^3}{\partial \omega^3} \right\} \right] (\omega \bar{W}_\omega^\mp) \quad (23)$$

付加項のうち第一項は、単に C を変えるだけで、他の項は \bar{W}_ω の ω 変化を促進する効果をもつ。重要なことは、 \bar{W}_ω^\pm は最終的に $\text{const.} \times \omega^{-1}$ 又は 0 に近づき、これは前の結果と同じであるという点にある。幂指数の漸近形

$$(1) \quad \epsilon \gg 1 \quad \alpha - 1 \approx \epsilon^{-1} [1 - (v_s/v_a)^2]$$

$$(2) \quad \epsilon \ll 1 \quad \alpha - 1 \approx (\alpha_0 - 1) [1 - \epsilon \{(\alpha_0 - 2)\epsilon_0 l + 1\}]$$

$$l \equiv 1 + 2(v_s/v_a)^2 (\alpha_0 - 1 + \frac{\sqrt{2}}{2}) (\alpha_0 - 1 - \frac{\sqrt{2}}{2}) > 0 \quad (T_i \approx T_e) \quad \text{となる}$$

$\alpha_0 > 2$ に対して、(2)の結果より、 $\frac{d\alpha}{d\epsilon}$ の傾きは正である。
又、 α が初期で増大する条件は $\alpha_0 < 2 - (\epsilon_0 l)^{-1}$ と

分子といつ違ひが生じるか、多々述べられて定性的な
分子子には、本質的変化を受りない。

擾動磁場の非等方性に関しては、上述の結果からでは議論できない。次の多て、太陽磁場に対する現実的なモデルを用いてこの点を調べる。

4 摆動磁場の非線型散乱による等方化。

空間的に非一様な磁場中で伝播するアルヘン波は、その波数及び位相速度が空間的に変化する。Völkl, H.J. & Aplens, W (1973) は、減衰と無視してアルヘン波の太陽風における伝播を調べ、擾動磁場の非等方性が観測値に比べて大きくなりすぎる ($A = \langle |\delta B_{B \times \theta_r}|^2 \rangle / \langle |\delta B_{B \times (\theta_B \times \theta_r)}|^2 \rangle \sim 50 \sim 90$) という結論を得た。以下、我々は、非線型散乱を導入する事で、この大きな非等方性をみえる事が出来たか否かについて議論する。

Parker, E.N. (1963) にて、惑星向磁場を次の様に与え子 (静止球座標系: $(\theta_r, \phi_\theta, \phi_\psi)$)

$$\mathbf{B} = B^0 \left(\frac{r_0}{r}\right)^2 (1, 0, b = \frac{r\Omega}{v_m} \propto \theta) \quad (24)$$

ここで $v_m = v_m(r)$ は太陽風速度、 $\Omega = 2.65 \times 10^{-6}$ cps は太陽の回転角速度で、 B^0 は θ の関数であるから、ここ

で、簡単のため $\theta = \frac{\pi}{2}$ のみ考える。局所直交系：

$(\mathbf{E}_x, \mathbf{E}_y, \mathbf{E}_z) = (-\mathbf{E}_B \times (\mathbf{E}_B \times \mathbf{E}_r), \mathbf{E}_B \times \mathbf{E}_r, \mathbf{E}_B)$ を導入する。

波動ベクトル \mathbf{k} はこの系で次の様に表わされる。

$$k_x = \frac{1}{\sqrt{1+b^2}}(b k_r - k_\phi), \quad k_y = k_\phi, \quad k_z = \frac{1}{\sqrt{1+b^2}}(k_r + b k_\phi) \quad (25)$$

また、波の減衰のない場合、単位位相空間 (\mathbf{x}, \mathbf{k}) あたりの波の数密度 $N_{\mathbf{k}}$ は次の Vlasov 方程式を従う

$$\left(\frac{\partial}{\partial t} + \frac{\partial \omega}{\partial \mathbf{k}} \cdot \frac{\partial}{\partial \mathbf{x}} - \frac{\partial \omega}{\partial \mathbf{x}} \cdot \frac{\partial}{\partial \mathbf{k}} \right) N_{\mathbf{k}} \equiv \frac{d}{dt} N_{\mathbf{k}} = 0 \quad (26)$$

ω と局所分散関係：

$$\omega = \mathbf{k} \cdot (\mathbf{w}_m \pm \mathbf{w}_a) \quad (27)$$

で与えられる。±の符号は外向き、内向き方向を表す。

$N_{\mathbf{k}}$ は次で特性方程式

$$\frac{d\mathbf{x}}{dt} = \frac{\partial \omega}{\partial \mathbf{k}}, \quad \frac{d\mathbf{k}}{dt} = -\frac{\partial \omega}{\partial \mathbf{x}}, \quad \frac{\partial \omega}{\partial t} = 0 \quad (28)$$

を解く事によって求めることとなる。次に非線型散乱を考慮した方程式は、

$$\begin{aligned} \frac{d}{dt} N_{\mathbf{k}} &= -N_{\mathbf{k}} \Psi = -\frac{\pi}{2} \frac{\hbar}{m_i m_e} \frac{N_{\mathbf{k}}}{w_a^2} \bar{\omega}^3 \left(2 + \bar{\omega} \frac{\partial}{\partial \bar{\omega}} \right) \int_{-1}^1 d\mu \\ &\quad \int_0^{2\pi} d\varphi \left(1 - \frac{\mu}{M_1} \frac{M}{M_{11}} \right) N_{\bar{\omega}} \end{aligned} \quad (29)$$

$$\bar{\omega} = \omega - \mathbf{k} \cdot \mathbf{w}_m = \omega \left[1 + \frac{w_m}{w_a} \frac{1}{\sqrt{1+b^2}} \left\{ 1 + b \frac{\sqrt{1-\mu^2}}{\mu} \cos \varphi \right\} \right]^{-1},$$

$N_{\bar{\omega}} \equiv N_k (\frac{\partial k}{\partial \bar{\omega}} k^2)$ と下す。この方程式は $\frac{d}{dt}, \bar{\omega}$ をそれぞれ $\frac{\partial}{\partial t}, \omega$ と書き直すと、アルヘン波に因る式(1)になる。 (26)式から $\frac{d}{dt} \omega = \frac{\partial}{\partial t} \omega = 0$ であり、又一方、
 今 ω で述べように、波のエネルギースペクトルは、指數 α を使って、 ω の幂で表かされた事（後で N_k も幂で表わされる）を考え合わせれば、 N_k の ω は因る関数形と
 今 ω と同様なものであるとしてよからう。そこで、波の数
 密度 $N_{\omega} \equiv N_k (\frac{\partial k}{\partial \omega} k^2)$ を次の様に定義する。

$$r = r_0 \quad N_{\omega}^0 = D_0 (\omega/\omega_{min})^{-(\alpha_0+1)} \quad (30)$$

$$r = r \quad N_{\omega} = D (\omega/\omega_{min})^{-(\alpha+1)} \Psi(\mu, \varphi) \quad (31)$$

ここで index 0 のついた量は定数で、 D, α は一般には
 時間（又は r ）の函数、 $\Psi(\mu, \varphi)$ は、太陽磁場の非一様性
 及び非線型効果に起因する、角度依存性を表わしている。
 今 ω 行ったと同時に、 N_k を外向き (+) 及び内向き (-) に
 分け、(29)式を各々の連立方程式にすれば得られる。外向き
 の波は、主に太陽附近で生まれ、惑星間空間を伝播して行く
 ため N_k^+ は大きな非等方性が生じる可能性がある (Vilk &
 Aplero) のに対し、内向きの波は、空間のいわば平行ランダム
 な初期スペクトルをもって生じるため、その N_k^- の非等方性
 は比較的小さいと考えられる。我々は N_k^+ の角度依

存在性(重 $^+(M, q_1)$ の解を向違とする。(29)式より)

$$\frac{d}{dt} \{\Psi^+ (\frac{\partial k}{\partial \omega} k^2)^{-1}\} = -\Psi^+ (\frac{\partial k}{\partial \omega} k^2)^{-1} \Psi^- \quad (32)$$

$$= \frac{h\pi^2}{2} \frac{(\alpha-1)}{m:n} \frac{\omega_{min}^3}{v_a^2} (1 + \frac{v_m}{v_a \sqrt{1+\epsilon^2}}) (\frac{v_a k M}{\omega})^3 \delta [1 - \frac{1}{\sqrt{2\epsilon-1}}]$$

$$D(\omega/\omega_{min})^{-\alpha+2} \Psi^+ (\frac{\partial k}{\partial \omega} k^2)^{-1}$$

$\therefore \delta = \frac{1}{2\pi} \int_1^0 d\mu \int_{\omega_{min}}^{2\omega} dq_1 [1 + \frac{v_m}{v_a \sqrt{1+\epsilon^2}}]^{-1} \frac{\partial \omega}{\partial \omega} \Psi^- (M, q_1)$ は 上述の意義

通り ≈ 1 とする。(εは 2 で導入された $\epsilon = X - \epsilon$)

この方程式の形式的解は、 Ψ の形は (28)

$$\Psi^+ (\frac{\partial k}{\partial \omega} k^2)^{-1} = (\frac{\partial k_0}{\partial \omega} k_0^2)^{-1} e^{-\int_{r_0}^r \frac{dr}{v_m + v_{ar}}} \frac{d\mu}{\omega(r, c_p, c_m, q_p)} \quad (33)$$

C_i は 方程 (28) を解く際、表される積分定数、 Ψ^+ の初期値を Ψ_0 とおいた。又 $k_0 = k_0(R, r)$ (see Volki & Alfven)

我々は (31) 式の具体的な解を求めるがために、無限小変位 Δr を用いて次の様に非線型項が擾動磁場の影響に与える効果を調べる。

(i) r_0 から $r+r$ 非線型項下 磁場の非等方性 = 周年 (28)

(ii) r から $r+\Delta r$ の間に非線型項の逆行影響をみる。

この振幅は既定の下では、 $N_k^+(r)$, $A(r) \equiv \langle |\delta B_{kxkx}|^2 \rangle / \langle |B_{kxkx}|^2 \rangle$

$$N_k^+(r+\Delta r) - N_k^+(r) = \Delta r N_k^+(r) \left[\frac{\partial \ln (\frac{\partial k_0}{\partial \omega} k_0^2)^{-1}}{\partial r} - \frac{\Psi^-}{v_m + v_{ar}} \right] \quad (34)$$

$$A(r+\Delta r) - A(r) = \Delta r/r [X - Y] \quad (35)$$

$$X = \{1, r \frac{\partial \ln(\frac{\partial k_0}{\partial \omega} k_0^2)^{-1}}{\partial r}\}, Y = \{1, -\frac{r \Psi^-}{v_m + v_{a\gamma}}\}$$

$$\text{[計算]} \quad \{1, \gamma\} = [\int d\mathbf{k} \hat{N}_{\mathbf{k}} k_y^2]^{-1} \left[\int d\mathbf{k} k_y^2 \hat{N}_{\mathbf{k}} \int d\mathbf{k} k_x^2 \hat{N}_{\mathbf{k}} \gamma - \right. \\ \left. \int d\mathbf{k} k_x^2 \hat{N}_{\mathbf{k}} \int d\mathbf{k} k_y^2 \hat{N}_{\mathbf{k}} \gamma \right]$$

$$\hat{N}_{\mathbf{k}} = D (\omega/\omega_{\min})^{-(\alpha+1)} \left(\frac{\partial k_0}{\partial \omega} k_0^2 \right)^{-1}$$

X, Y はそれぞれ 太陽磁場の非一様性、及ぶ 非線型項
が $A(r)$ に与える効果を表す(?) とある。

X, Y の値を求めた結果を 下にまとめて記す。

(i) X, Y は $r_0 < r$ の時 1 つめ プラスである。

(ii) その比 X/Y は

$$(1) X_0/Y_0 \approx [4b_0 G(r_0)]^{-1} \quad \text{at } r = r_0$$

$$(2) X_1/Y_1 \approx \left[\frac{6}{\pi} \left(\frac{r_0}{r} \right)^2 \left(\frac{v_a^2}{v_{a0}^2 v_m} \right) b^{-2} G(r) \right]^{-1} \quad \text{for } r_0 \ll r \ll R_e$$

ここで、値 $\alpha \sim 0(1)$ 程度の数値積分を除いて、 R_e は地球
軌道半径である。特に、 $(r_0/r)(v_m/v_a^2) b^{-1} = 1$ ($r = 10r_0$) 时
上式の $\frac{6}{\pi} \approx \frac{8.7}{\pi}$ は $T_2 \approx T_1$ 。

$$(3) X_2/Y_2 \approx \left[\frac{3}{\pi} \left(\frac{r_0}{r} \right)^{1+b^2} \left(\frac{v_m^3 v_a^2}{v_{a0}^5} \right) G(r) \right]^{-1} \quad \text{for } r \leq R_e$$

$$G(r) \equiv \frac{\pi^2}{2} \frac{(\alpha-1)}{m_i m_e} \left(1 + \frac{v_m}{v_{a0} \sqrt{1+b^2}} \right) \frac{\omega_{\min}}{v_a^2} \frac{r}{v_m + v_{a\gamma}} I$$

$$I \equiv \hbar \omega_{\min}^2 D \int_{\omega_{\min}}^{\omega_{\max}} dw \left(\frac{\omega}{\omega_{\min}} \right)^{-2\alpha+3} \left\{ 1 - \frac{1}{\sqrt{2\varepsilon-1}} \right\} / \int_{\omega_{\min}}^{\omega_{\max}} dw \left(\frac{\omega}{\omega_{\min}} \right)^{-\alpha+1} \\ = \frac{\alpha-1}{2} \left(\frac{\omega_{\max}}{\omega_{\min}} \right)^{12-\alpha} \left\langle \frac{\delta B^2(r)}{8\pi} \right\rangle \quad (\alpha \neq 2, \varepsilon \gg 1 \text{ の場合})$$

次に観測値を代入する：
 $n_i(r_0) \approx 10^6 \text{ cm}^{-3}$, $v_{a0}^0 (r_0=2R_\odot) \approx 5 \times 10^7 \text{ cm s}^{-1}$, $v_m(r_e) \approx 4 \times 10^7 \text{ cm s}^{-1}$ (Burlaga 1971),
 $n_i(r_e) \approx 5 \text{ cm}^{-3}$, $\omega_{\min} \approx 10^{-4} \text{ s}^{-1}$, $\langle \delta B^2(r_e) / 8\pi \rangle \approx 10^{10} \text{ erg cm}^{-3}$, $\omega_{\max}/\omega_{\min} \approx 3 \times 10^3$ (Lacombe).

$r_0 = 2R_\odot$ (Völk & Apllers) とす。

$$X_0/Y_0 \approx 1.6 (\omega_{\min}/\omega_{\max})^{12-\alpha} (\langle B^2(r_0) \rangle / \langle \delta B^2(r_0) \rangle)^{(\alpha-1)^2}$$

$$X_1/Y_1 \approx 5.7 \times 10^{-3} (\omega_{\min}/\omega_{\max})^{12-\alpha} (\langle B^2(r) \rangle / \langle \delta B^2(r) \rangle)^{(\alpha-1)^2},$$

$$X_2/Y_2 \approx 5.9 \times 10 (\omega_{\min}/\omega_{\max})^{12-\alpha} (\langle B^2(r_e) \rangle / \langle \delta B^2(r_e) \rangle)^{(\alpha-1)^2}.$$

$\langle B^2(r_0) \rangle / \langle \delta B^2(r_0) \rangle$ の値が大きすぎなければ、 X/Y は $1 \sim 10$ で
 r_0 や r_1 ($10r_0 < r_1 < r_e$) で $1 \sim 1$ 以下になるととまり、その後 1 以上に伸びる。 $(r=r_e \text{ で } X_2/Y_2 \approx 4.3 \text{ (}\alpha=1.5\text{)} = 5.9 \text{ (}\alpha=2\text{)})$ 。以上の議論から非線型散乱は

振動磁場の非等方性をかかり押さえ事で結論され。

観測 ($A=5/4$) との矛盾はない。ほか、 B_B 方向の振動磁場について、我々は純粹なアルヘン波 ($\delta B \sim k \times B$) を考へているので、取り扱いは出来ない。この成分の磁場はおそらく non-Alfvénic な振動に起因しているものと思われる。

我々はアルヘン波の非線型散乱が太陽風において effective に起っている事をみて來た。この非線型散乱が

起るためには、 δz で述べた様に、反対方向へ進む波が現れるという条件が必要である。太陽風内でのように、これは2次的に逆向きの波が生じるのではなく、より“確か”にこの条件が満たされる場合、例えば2ヶ所にあるエネルギー源を磁力線が結んでいるという状況、あるいは、磁力線のループが折りたたまれている様な状況においては、これが一つの重要なエネルギー抽出機構となり得る。

References

- Belcher, J.M., Davis, L. 1971, *J. Geophys. Res.* 76, 3534
 Hollweg, J.V., 1971, *Phys. Rev. Letters* 27, 1349
 Lacombe, C., 1976, *Astron. and Astrophys.* 48, 11
 Lee, M.A., Völk, H.J., 1973, *Astrophys. Space Sci.* 24, 31
 Lifshitz, M.A., Tsvetovich, V.N., 1970, *Nucl. Fusion* 10, 241
 Parker, E.M. 1963, *Interplanetary Dynamical Processes*,
 John Wiley, New York
 Völk, H.J., Apel, W., 1973, *Astrophys. Space Sci.*
20, 267.
 Burlaga, L.F., 1971, *J. Geophys. Res.* 76, 4360